

连续控制系统: 连续的被控对象 (连续+执行) + 连续的控制器
 采样系统: 连续的被控对象 + 离散的控制 + 采样器 + 保持器
 离散系统: 软件实现, 可有效抑制噪声. 抗干扰强, 适于网络化, 历史数据存取方便, 可实时控制若干系统提高设备利用率, 采样使大延迟系统稳定. 离散控制然设计时需考虑量化误差和采样周期影响. 对大规模对象成本低. 对工作环境要求高. 计算机能处理离散时间信号. 运算进行复杂运算.

连续系统: 系统中所有环路的信号均为时间的连续信号.
 离散系统: 系统中全采样开关或数字处理环节, 存在离散信号 (含采样系统和数字系统). 采样: 连续 → 离散. 用开关符号表示.
 理想采样: 采样开关关闭时间满足 $\Delta > T_s$, $\Delta < T$ (f.h). $f^*(t) = f(t) \delta_T(t) = \sum_{k=0}^{\infty} f(kT) \delta(t-kT)$. 单位脉冲串的傅里叶展开: $\delta_T(t) = \frac{1}{T} \sum_{k=-\infty}^{\infty} e^{jk\omega_s t}$.
 $f^*(t) \leftrightarrow \frac{1}{T} \sum_{k=-\infty}^{\infty} F(j\omega - jk\omega_s)$. 频谱互不干涉条件: $\omega_s > 2\omega_m$ (采样定理).
 实际应用中通常采用保持器作为低通滤波器保证 f^* 复现为 f . $G_h(s) = \frac{F_h(s)}{F^*(s)}$.
 $|G_h(j\omega)| = 1, \omega < \omega_s/2$ or $0, \omega > \omega_s/2$. 保持器可以保存采样信号. 作低通滤波器.

[z变换] $z = e^{sT} = e^{j\omega T}$, $T_s = \frac{2\pi}{\omega_s}$.
 $F(s) = \int_{-\infty}^{\infty} f(t) e^{st} dt$, $G(z) = (1 - z^{-1}) \sum_{k=1}^{\infty} G_1(s) z^{-k}$.
 $F(z) = \sum_{k=0}^{\infty} f(kT) z^{-k}$. 定义法: 部分分式法.

留数法: $F(z) = F_1(z) + \beta$.
 $\hat{F}(z) = \sum \text{Res} [F(p_i) / (1 - e^{-(s-p_i)T})] = \sum \text{Res} [F(p_i) / (1 - e^{p_i T} z^{-1})]$
 $\beta = \lim_{z \rightarrow 0} s F(s) - \lim_{z \rightarrow \infty} \hat{F}(z)$.
 部分极点: $\text{Res} = \lim_{s \rightarrow p_i} [s - p_i] F(s) \frac{z}{z - e^{p_i T}}$.
 q阶: $\text{Res} = \frac{1}{(q-1)!} \lim_{s \rightarrow p_i} \frac{d^{q-1}}{ds^{q-1}} [(s - p_i)^q F(s)] \frac{z}{z - e^{p_i T}}$.

[z变换性质]
 1. 移位: $z[y(t-kT)] = z^{-k} Y(z)$, $z[x(k+1)] = z X(z) - z x(0)$.
 $z[y(t+kT)] = z^k Y(z) - z^k y(0) - z^{k-1} y(T) - \dots - z y(k-1)T$

2. 初值: $\lim_{k \rightarrow 0} f(kT) = f(0) = \lim_{z \rightarrow \infty} F(z)$.
 3. 终值: 极点在单位圆内, $f(\infty) = \lim_{k \rightarrow \infty} f(kT) = \lim_{z \rightarrow 1} [(1 - z^{-1}) F(z)]$.
 4. $z[e^{j\omega t} x(t)] = X(e^{j\omega T} z)$.
 5. $z[tx(t)] = -T \frac{dX(z)}{dz}$, $z[kx(k)] = -z \frac{dX(z)}{dz}$.
 6. $z[x_1(t) * x_2(t)] = X_1(z) X_2(z)$.

[z变换块] 部分分式法: 对 $\frac{X(z)}{z}$ 进行拆分.

留数法: $y(kT) = \sum \text{Res} [Y(z) z^{k-1}]_{z=p_i}$.

[观察连续脉冲传递函数] $G_0(z)$ 有负反馈加负号.

若前向通道 (在环内部分) 有一个 / 存在.
 $G_0(z)$ 为开环传递, 沿任意一处断开一圈: $Y(z) = \frac{G(z)}{1 - G_0(z)}$.
 $G(z)$ 是包括输入的前向通道的z变换.

给定输入的系统响应 $x(t) = e^{At} x(0)$
 $x(t) = e^{At} x(0) + \int_0^t e^{A(t-\tau)} B u(\tau) d\tau$

拉氏变换 Y(s)	采样函数 y(kT)	Z变换 Y(z)
1	$\delta(kT)$	1
e^{-as}	$\delta[(k-n)T]$	z^{-n}
$\frac{1}{s}$	1	$\frac{z}{z-1}$
$\frac{1}{s^2}$	kT	$\frac{Tz}{(z-1)^2}$
$\frac{1}{s^3}$	$\frac{1}{2!} (kT)^2$	$\frac{T^2 z(z+1)}{2(z-1)^3}$
$\frac{1}{s+a}$	e^{-at}	$\frac{z}{z - e^{-aT}}$
$\frac{1}{(s+a)^2}$	$kT e^{-at}$	$\frac{Tz e^{-aT}}{(z - e^{-aT})^2}$
$\frac{a}{s(s+a)}$	$1 - e^{-at}$	$\frac{z(1 - e^{-aT})}{(z-1)(z - e^{-aT})}$
$\frac{b-a}{(s+a)(s+b)}$	$e^{-at} - e^{-bt}$	$\frac{z(e^{-aT} - e^{-bT})}{(z - e^{-aT})(z - e^{-bT})}$
$\frac{a^2}{s(s+a)^2}$	$1 - (1 + akT)e^{-at}$	$\frac{z}{z-1} - \frac{z(1-aT)e^{-aT}}{(z - e^{-aT})^2}$
$\frac{a}{s^2 + a^2}$	$\sin akT$	$\frac{z \sin aT}{z^2 - 2z \cos aT + 1}$
$\frac{s}{s^2 + a^2}$	$\cos akT$	$\frac{z^2 - z \cos aT}{z^2 - 2z \cos aT + 1}$
$\frac{a}{s^2 - a^2}$	$\sinh akT$	$\frac{z \sinh aT}{z^2 - 2z \cosh aT + 1}$
$\frac{s}{s^2 - a^2}$	$\cosh akT$	$\frac{z^2 - z \cosh aT}{z^2 - 2z \cosh aT + 1}$
$\frac{s+a}{(s+a)^2 + b^2}$	$e^{-at} \cos bt$	$\frac{z^2 - ze^{-aT} \cos bT}{z^2 - 2ze^{-aT} \cos bT + e^{-2aT}}$
$\frac{b}{(s+a)^2 + b^2}$	$e^{-at} \sin bt$	$\frac{ze^{-aT} \sin bT}{z^2 - 2ze^{-aT} \cos bT + e^{-2aT}}$

[离散系统状态空间模型] 1. 差分方程求解: z变换

2. 给定差分方程: $T_1 y(t) + y(t) = kx(t)$, $T_1 \gg T$.
 $y[(k+1)T] - ay(kT) = bKx(kT)$, $a = e^{-T/T_1}$, $b = T/T_1$, $a = 1 - b$.
 3. 状态方程: $G(z) = C(zI - A)^{-1}B + D$.
 $X(z) = (zI - A)^{-1} z x(0) + (zI - A)^{-1} B u(z)$.

4. $G(z)$ 状态方程:
 ① 解耦: $A = \begin{pmatrix} a_1 & & \\ & \ddots & \\ & & a_n \end{pmatrix}$, $b = \begin{pmatrix} b_1 \\ \vdots \\ b_n \end{pmatrix}$, $c = \begin{pmatrix} c_1 & \dots & c_n \end{pmatrix}$, $d = b_n$.
 $\beta_i = b_i - a_i b_n$.
 ② 观测: $A_0 = A^T$, $b_0 = C^T$, $C_0 = b^T$, $d_0 = d$.
 ③ 正负: $A = \text{diag}(\lambda_1, \lambda_2, \dots, \lambda_n)$, $b = \begin{pmatrix} 1 \\ \vdots \\ 1 \end{pmatrix}$, $C = (c_1, \dots, c_n)$, $d = b_n$.
 $G(s) = b_n + \sum \frac{C_i}{s - \lambda_i}$.

④ 串联分解: $D(z) = \frac{b}{z+a}$.

5. 连续系统状态方程离散化:
 $G(z) = e^{AT} = e^{T(A+BK)}$, $H(z) = \int_0^T e^{A(T-\tau)} B d\tau$.
 $x(k+1) = G(z)x(k) + H(z)u(k)$
 $y(k) = Cx(k) + Du(k)$. 不一定保持连续系统的能控能观性.

[离散系统稳定性判据] 所谓系统稳定: 对特征方程的所有系数均非零.

1. 求稳态误差: 设系统脉冲传递函数 $G(z) = \frac{1}{1+G(z)}$.
 $e(\omega) = \lim_{z \rightarrow 1} (z-1)E(z) = \lim_{z \rightarrow 1} (z-1)G(z)X(z) = \lim_{z \rightarrow 1} (z-1) \frac{R(z)}{1+G(z)}$.
 $K_p = \lim_{z \rightarrow 1} G(z)$, $K_v = \lim_{z \rightarrow 1} (z-1)G(z)$, $K_a = \lim_{z \rightarrow 1} (z-1)^2 G(z)$.
 0型: $e^*(\omega) = \frac{R_0}{1+K_p}$, $\frac{1}{1+K_p}$.
 1型: $\frac{R_1}{1+K_v}$, $\frac{1}{K_v}$.
 2型: $\frac{R_2}{1+K_a}$, $\frac{1}{K_a}$.

2. 稳定性判据: ① 劳斯判据: $z = \frac{\omega+1}{\omega-1}$ (x+1+G(z)=0).
 ② 根轨迹法: 是否存在单位圆以内. ③ 差分方程特征根的模 $|a_i| < 1$.
 ④ 若特征方程 $1+G(z)=0$ 有根在单位圆外, 则系统不稳定. ⑤ 若特征方程 $1+G(z)=0$ 有根在单位圆上, 则系统临界稳定.

⑤ 劳斯判据: $D(z) = a_0 + a_1 z + a_2 z^2 + \dots + a_n z^n = 0$, $a_n > 0$.

z^n	z^{n-1}	z^{n-2}	\dots	z^1	z^0
1	a_0	a_1	a_2	a_{n-1}	a_n

 1 (1,2) (3,4)
 3 b_0 b_1 b_2 b_{n-1}
 4 (3,...)
 ...
 2n-5 p_0 p_1 p_2 p_3
 2n-4 p_3 p_2 p_1 p_0
 2n-3 q_1 q_2 q_3

每列: $D(z)$ 的根在单位圆内由 $D(0) > 0$, $D(1) > 0$ (n偶) or < 0 (n奇).
 $|b_n| > |b_{n-1}| > \dots > |b_1| > |b_0|$.
 正负号: $|D(0)| < 1$, $D(0) > 0$, $D(-1) > 0$.
 a. 若所有根在单位圆内, 系统稳定.
 b. 若根在单位圆上, 系统临界稳定.
 c. 若根在单位圆外, 系统不稳定.

3. 离散化方法: $C(z) = G(z)R(z) = \frac{C(z)}{D(z)} \frac{1}{z - p_k} + \frac{C_k}{z - p_k}$.
 $C_k = \lim_{z \rightarrow p_k} (z - p_k) \frac{C(z)}{D(z)}$.
 C_k 为复数, $C_k(kT) = C_k p_k^k$.
 闭环系统与开环系统的关系: $G(z) = \frac{K(z-1)}{D(z)}$.

5. 数字设计方法:
 $\phi(z) = \frac{Y(z)}{R(z)} = \frac{D(z)G(z)}{1 + D(z)G(z)}$, $\phi_e(z) = \frac{E(z)}{R(z)} = \frac{1}{1 + D(z)G(z)} = 1 - \phi(z)$.
 $D(z) = \frac{\phi(z)}{G(z)(1 - \phi(z))}$.
 b. 无稳态误差的最小拍系统设计 (m拍): $Y(z) = \phi(z)X(z)$.
 $X(z) = \frac{z^m}{(1-z^{-1})^m}$, $\phi_e(z) = (1-z^{-1})^m$, $\phi(z) = 1 - \phi_e(z)$, $D(z) = \frac{\phi(z)}{H(z)(1 - \phi_e(z))}$.
 实际上 $\phi_e(z) = (1-z^{-1})^m F(z) = (1-z^{-1})^m (1 + a_1 z^{-1} + a_2 z^{-2} + \dots)$.
 如果 $F(z)$ 无解, 则用 $\phi_e(z) = 1 - \phi_e(z)$ 待系数取解.

无波纹: $\phi_e(z) = (1-z^{-1})^m (1 + a_1 z^{-1})$, $\phi(z) = z^{-1} \frac{(1 + a_1 z^{-1})}{(1 + a_1 z^{-1})} (\beta_0 + \beta_1 z^{-1})$.
 $\phi_e(z) + \phi(z) = 1$, $D(z) = \frac{\phi(z)}{G(z)(1 - \phi_e(z))}$. $G(z)$ 中最高次项 $a + b z^{-1}$ 的根.

[能控能观判据]
 $Q_c = \begin{pmatrix} b & Ab & A^2 b & \dots & A^{n-1} b \end{pmatrix}$, $Q_o = \begin{pmatrix} c \\ cA \\ cA^2 \\ \dots \\ cA^{n-1} \end{pmatrix}$.
 (A, B, C, D) 能控 $\Leftrightarrow (A^T, B^T, C^T, D^T)$ 能观.
 PBH判据: 能控: $\forall i, \text{rank}(\lambda_i I - A) \geq n$ or $\forall s, \text{rank}(sI - A) = n$.
 能观: $\forall i, \text{rank}(\lambda_i I - A) = n$ or $\forall s, \text{rank}(sI - A) = n$.

若 p_k 全为实数:
 闭环极点分布: $h^*(t) = \frac{b_0}{a_n} \delta(t) + \frac{b_1}{a_{n-1}} \delta(t-T) + \dots + \frac{b_{n-1}}{a_0} \delta(t-(n-1)T)$.
 单位脉冲响应: 系统瞬态响应在 nT 时结束.

若 p_k 有复数: $p_k = 1 \pm j\omega_k$, $C_k = |C_k| e^{j\theta_k}$. 振荡周期 $T_d = \frac{2\pi}{\omega_k} = \frac{2\pi T}{\theta_k}$.

 $C_k(kT) = 2|C_k| |p_k|^{k-1} \cos(n\theta_k + \theta_k)$.
 $n = \frac{2\pi}{\theta_k}$ 为一个振荡周期中的脉冲数.

采样器: T_D, T_S, σ , 保持器: T_P, T_C, σ . 相角裕度稳定性降低.
 ② 使系统 T_P 和 T_S , σ 和振荡次数, 用为 ZOH 的相角裕度降低 (降低系统的稳定性程度).

4. 数字化设计方法: $e^{-Ts} \approx -(s - \frac{1}{T}) / (s + \frac{1}{T}) \in \text{Padé 逼近}$.
 则 ZOH 近似表示为 $H(z) = \frac{1 - e^{-Ts}}{s} = \frac{2T}{Ts + 2}$.

① 后向差分法: PID 增益公式
 $\Delta U(k) = K_c [e(k) - e(k-1)] + \frac{T_d}{T} [e(k) + \frac{T_d}{2T} (e(k) - 2e(k-1) + e(k-2))]$
 ② 极点零点匹配法:
 $G(s) = k \frac{s + z_0}{s + p_0} \rightarrow D(z) = C \frac{z - z_0}{z - p_0}$, $A = e^{-aT}$, $B = e^{-bT}$, $C = \frac{1-A}{1-B} = k \frac{B}{A}$.
 ③ Tustin法: 将 $s = \frac{2}{T} \frac{z-1}{z+1}$ 代入. 离散系统在频率响应的有畸变.

PBH 能观判据: 若对 A 的 W 特征值, 只有 $z=0$ 或 $z=A$, $z=\lambda$, $z=\lambda^2$, $z=\lambda^3$, $z=\lambda^4$, $z=\lambda^5$, $z=\lambda^6$, $z=\lambda^7$, $z=\lambda^8$, $z=\lambda^9$, $z=\lambda^{10}$, $z=\lambda^{11}$, $z=\lambda^{12}$, $z=\lambda^{13}$, $z=\lambda^{14}$, $z=\lambda^{15}$, $z=\lambda^{16}$, $z=\lambda^{17}$, $z=\lambda^{18}$, $z=\lambda^{19}$, $z=\lambda^{20}$, $z=\lambda^{21}$, $z=\lambda^{22}$, $z=\lambda^{23}$, $z=\lambda^{24}$, $z=\lambda^{25}$, $z=\lambda^{26}$, $z=\lambda^{27}$, $z=\lambda^{28}$, $z=\lambda^{29}$, $z=\lambda^{30}$, $z=\lambda^{31}$, $z=\lambda^{32}$, $z=\lambda^{33}$, $z=\lambda^{34}$, $z=\lambda^{35}$, $z=\lambda^{36}$, $z=\lambda^{37}$, $z=\lambda^{38}$, $z=\lambda^{39}$, $z=\lambda^{40}$, $z=\lambda^{41}$, $z=\lambda^{42}$, $z=\lambda^{43}$, $z=\lambda^{44}$, $z=\lambda^{45}$, $z=\lambda^{46}$, $z=\lambda^{47}$, $z=\lambda^{48}$, $z=\lambda^{49}$, $z=\lambda^{50}$, $z=\lambda^{51}$, $z=\lambda^{52}$, $z=\lambda^{53}$, $z=\lambda^{54}$, $z=\lambda^{55}$, $z=\lambda^{56}$, $z=\lambda^{57}$, $z=\lambda^{58}$, $z=\lambda^{59}$, $z=\lambda^{60}$, $z=\lambda^{61}$, $z=\lambda^{62}$, $z=\lambda^{63}$, $z=\lambda^{64}$, $z=\lambda^{65}$, $z=\lambda^{66}$, $z=\lambda^{67}$, $z=\lambda^{68}$, $z=\lambda^{69}$, $z=\lambda^{70}$, $z=\lambda^{71}$, $z=\lambda^{72}$, $z=\lambda^{73}$, $z=\lambda^{74}$, $z=\lambda^{75}$, $z=\lambda^{76}$, $z=\lambda^{77}$, $z=\lambda^{78}$, $z=\lambda^{79}$, $z=\lambda^{80}$, $z=\lambda^{81}$, $z=\lambda^{82}$, $z=\lambda^{83}$, $z=\lambda^{84}$, $z=\lambda^{85}$, $z=\lambda^{86}$, $z=\lambda^{87}$, $z=\lambda^{88}$, $z=\lambda^{89}$, $z=\lambda^{90}$, $z=\lambda^{91}$, $z=\lambda^{92}$, $z=\lambda^{93}$, $z=\lambda^{94}$, $z=\lambda^{95}$, $z=\lambda^{96}$, $z=\lambda^{97}$, $z=\lambda^{98}$, $z=\lambda^{99}$, $z=\lambda^{100}$, $z=\lambda^{101}$, $z=\lambda^{102}$, $z=\lambda^{103}$, $z=\lambda^{104}$, $z=\lambda^{105}$, $z=\lambda^{106}$, $z=\lambda^{107}$, $z=\lambda^{108}$, $z=\lambda^{109}$, $z=\lambda^{110}$, $z=\lambda^{111}$, $z=\lambda^{112}$, $z=\lambda^{113}$, $z=\lambda^{114}$, $z=\lambda^{115}$, $z=\lambda^{116}$, $z=\lambda^{117}$, $z=\lambda^{118}$, $z=\lambda^{119}$, $z=\lambda^{120}$, $z=\lambda^{121}$, $z=\lambda^{122}$, $z=\lambda^{123}$, $z=\lambda^{124}$, $z=\lambda^{125}$, $z=\lambda^{126}$, $z=\lambda^{127}$, $z=\lambda^{128}$, $z=\lambda^{129}$, $z=\lambda^{130}$, $z=\lambda^{131}$, $z=\lambda^{132}$, $z=\lambda^{133}$, $z=\lambda^{134}$, $z=\lambda^{135}$, $z=\lambda^{136}$, $z=\lambda^{137}$, $z=\lambda^{138}$, $z=\lambda^{139}$, $z=\lambda^{140}$, $z=\lambda^{141}$, $z=\lambda^{142}$, $z=\lambda^{143}$, $z=\lambda^{144}$, $z=\lambda^{145}$, $z=\lambda^{146}$, $z=\lambda^{147}$, $z=\lambda^{148}$, $z=\lambda^{149}$, $z=\lambda^{150}$, $z=\lambda^{151}$, $z=\lambda^{152}$, $z=\lambda^{153}$, $z=\lambda^{154}$, $z=\lambda^{155}$, $z=\lambda^{156}$, $z=\lambda^{157}$, $z=\lambda^{158}$, $z=\lambda^{159}$, $z=\lambda^{160}$, $z=\lambda^{161}$, $z=\lambda^{162}$, $z=\lambda^{163}$, $z=\lambda^{164}$, $z=\lambda^{165}$, $z=\lambda^{166}$, $z=\lambda^{167}$, $z=\lambda^{168}$, $z=\lambda^{169}$, $z=\lambda^{170}$, $z=\lambda^{171}$, $z=\lambda^{172}$, $z=\lambda^{173}$, $z=\lambda^{174}$, $z=\lambda^{175}$, $z=\lambda^{176}$, $z=\lambda^{177}$, $z=\lambda^{178}$, $z=\lambda^{179}$, $z=\lambda^{180}$, $z=\lambda^{181}$, $z=\lambda^{182}$, $z=\lambda^{183}$, $z=\lambda^{184}$, $z=\lambda^{185}$, $z=\lambda^{186}$, $z=\lambda^{187}$, $z=\lambda^{188}$, $z=\lambda^{189}$, $z=\lambda^{190}$, $z=\lambda^{191}$, $z=\lambda^{192}$, $z=\lambda^{193}$, $z=\lambda^{194}$, $z=\lambda^{195}$, $z=\lambda^{196}$, $z=\lambda^{197}$, $z=\lambda^{198}$, $z=\lambda^{199}$, $z=\lambda^{200}$, $z=\lambda^{201}$, $z=\lambda^{202}$, $z=\lambda^{203}$, $z=\lambda^{204}$, $z=\lambda^{205}$, $z=\lambda^{206}$, $z=\lambda^{207}$, $z=\lambda^{208}$, $z=\lambda^{209}$, $z=\lambda^{210}$, $z=\lambda^{211}$, $z=\lambda^{212}$, $z=\lambda^{213}$, $z=\lambda^{214}$, $z=\lambda^{215}$, $z=\lambda^{216}$, $z=\lambda^{217}$, $z=\lambda^{218}$, $z=\lambda^{219}$, $z=\lambda^{220}$, $z=\lambda^{221}$, $z=\lambda^{222}$, $z=\lambda^{223}$, $z=\lambda^{224}$, $z=\lambda^{225}$, $z=\lambda^{226}$, $z=\lambda^{227}$, $z=\lambda^{228}$, $z=\lambda^{229}$, $z=\lambda^{230}$, $z=\lambda^{231}$, $z=\lambda^{232}$, $z=\lambda^{233}$, $z=\lambda^{234}$, $z=\lambda^{235}$, $z=\lambda^{236}$, $z=\lambda^{237}$, $z=\lambda^{238}$, $z=\lambda^{239}$, $z=\lambda^{240}$, $z=\lambda^{241}$, $z=\lambda^{242}$, $z=\lambda^{243}$, $z=\lambda^{244}$, $z=\lambda^{245}$, $z=\lambda^{246}$, $z=\lambda^{247}$, $z=\lambda^{248}$, $z=\lambda^{249}$, $z=\lambda^{250}$, $z=\lambda^{251}$, $z=\lambda^{252}$, $z=\lambda^{253}$, $z=\lambda^{254}$, $z=\lambda^{255}$, $z=\lambda^{256}$, $z=\lambda^{257}$, $z=\lambda^{258}$, $z=\lambda^{259}$, $z=\lambda^{260}$, $z=\lambda^{261}$, $z=\lambda^{262}$, $z=\lambda^{263}$, $z=\lambda^{264}$, $z=\lambda^{265}$, $z=\lambda^{266}$, $z=\lambda^{267}$, $z=\lambda^{268}$, $z=\lambda^{269}$, $z=\lambda^{270}$, $z=\lambda^{271}$, $z=\lambda^{272}$, $z=\lambda^{273}$, $z=\lambda^{274}$, $z=\lambda^{275}$, $z=\lambda^{276}$, $z=\lambda^{277}$, $z=\lambda^{278}$, $z=\lambda^{279}$, $z=\lambda^{280}$, $z=\lambda^{281}$, $z=\lambda^{282}$, $z=\lambda^{283}$, $z=\lambda^{284}$, $z=\lambda^{285}$, $z=\lambda^{286}$, $z=\lambda^{287}$, $z=\lambda^{288}$, $z=\lambda^{289}$, $z=\lambda^{290}$, $z=\lambda^{291}$, $z=\lambda^{292}$, $z=\lambda^{293}$, $z=\lambda^{294}$, $z=\lambda^{295}$, $z=\lambda^{296}$, $z=\lambda^{297}$, $z=\lambda^{298}$, $z=\lambda^{299}$, $z=\lambda^{300}$, $z=\lambda^{301}$, $z=\lambda^{302}$, $z=\lambda^{303}$, $z=\lambda^{304}$, $z=\lambda^{305}$, $z=\lambda^{306}$, $z=\lambda^{307}$, $z=\lambda^{308}$, $z=\lambda^{309}$, $z=\lambda^{310}$, $z=\lambda^{311}$, $z=\lambda^{312}$, $z=\lambda^{313}$, $z=\lambda^{314}$, $z=\lambda^{315}$, $z=\lambda^{316}$, $z=\lambda^{317}$, $z=\lambda^{318}$, $z=\lambda^{319}$, $z=\lambda^{320}$, $z=\lambda^{321}$, $z=\lambda^{322}$, $z=\lambda^{323}$, $z=\lambda^{324}$, $z=\lambda^{325}$, $z=\lambda^{326}$, $z=\lambda^{327}$, $z=\lambda^{328}$, $z=\lambda^{329}$, $z=\lambda^{330}$, $z=\lambda^{331}$, $z=\lambda^{332}$, $z=\lambda^{333}$, $z=\lambda^{334}$, $z=\lambda^{335}$, $z=\lambda^{336}$, $z=\lambda^{337}$, $z=\lambda^{338}$, $z=\lambda^{339}$, $z=\lambda^{340}$, $z=\lambda^{341}$, $z=\lambda^{342}$, $z=\lambda^{343}$, $z=\lambda^{344}$, $z=\lambda^{345}$, $z=\lambda^{346}$, $z=\lambda^{347}$, $z=\lambda^{348}$, $z=\lambda^{349}$, $z=\lambda^{350}$, $z=\lambda^{351}$, $z=\lambda^{352}$, $z=\lambda^{353}$, $z=\lambda^{354}$, $z=\lambda^{355}$, $z=\lambda^{356}$, $z=\lambda^{357}$, $z=\lambda^{358}$, $z=\lambda^{359}$, $z=\lambda^{360}$, $z=\lambda^{361}$, $z=\lambda^{362}$, $z=\lambda^{363}$, $z=\lambda^{364}$, $z=\lambda^{365}$, $z=\lambda^{366}$, $z=\lambda^{367}$, $z=\lambda^{368}$, $z=\lambda^{369}$, $z=\lambda^{370}$, $z=\lambda^{371}$, $z=\lambda^{372}$, $z=\lambda^{373}$, $z=\lambda^{374}$, $z=\lambda^{375}$, $z=\lambda^{376}$, $z=\lambda^{377}$, $z=\lambda^{378}$, $z=\lambda^{379}$, $z=\lambda^{380}$, $z=\lambda^{381}$, $z=\lambda^{382}$, $z=\lambda^{383}$, $z=\lambda^{384}$, $z=\lambda^{385}$, $z=\lambda^{386}$, $z=\lambda^{387}$, $z=\lambda^{388}$, $z=\lambda^{389}$, $z=\lambda^{390}$, $z=\lambda^{391}$, $z=\lambda^{392}$, $z=\lambda^{393}$, $z=\lambda^{394}$, $z=\lambda^{395}$, $z=\lambda^{396}$, $z=\lambda^{397}$, $z=\lambda^{398}$, $z=\lambda^{399}$, $z=\lambda^{400}$, $z=\lambda^{401}$, $z=\lambda^{402}$, $z=\lambda^{403}$, $z=\lambda^{404}$, $z=\lambda^{405}$, $z=\lambda^{406}$, $z=\lambda^{407}$

化简标准型

能控标准型: $T_c = Q_c Q_c^{-1}$. Q_c 是 (A, b) 能控矩阵.
 $A_c = T_c^{-1} A T_c$. $b_c = T_c^{-1} b$. $c_c = c T_c$. Q_c 是能控标准型 (A_c, b_c) 的能控矩阵.
能观标准型: $T_o^{-1} = Q_o^{-1} Q_o$. $A_o = T_o^{-1} A T_o$. $b_o = T_o^{-1} b$. $c_o = c T_o$.
 $Q_o^{-1} = Q_o^{-1} = \begin{pmatrix} \alpha_1 & \alpha_2 & \dots & \alpha_n \\ 1 & 0 & \dots & 0 \end{pmatrix}$

能控能观性: 同分解

非奇异线性变换 T : 对能控取 p 个线性无关列; 对能观取行.
 $\bar{A} = T^{-1} A T = \begin{pmatrix} A_{cc} & A_{ce} \\ 0 & A_{ee} \end{pmatrix}$. $\bar{B} = T^{-1} B = \begin{pmatrix} B_c \\ B_e \end{pmatrix}$. $\bar{C} = C T = \begin{pmatrix} C_c & C_e \end{pmatrix}$ (T^{-1})

分解后的状态空间模型: $\begin{cases} \dot{\bar{x}}(t) = \bar{A} \bar{x}(t) + \bar{B} u(t) \\ y(t) = \bar{C} \bar{x}(t) + D u(t) \end{cases}$ 完全不能控系统:

能控子系统: $\begin{cases} \dot{\bar{x}}_c = \bar{A}_{cc} \bar{x}_c + \bar{A}_{ce} \bar{x}_e + \bar{B}_c u \\ y_c = \bar{C}_c \bar{x}_c \end{cases}$ $\begin{cases} \dot{\bar{x}}_e = \bar{A}_{ee} \bar{x}_e \\ y_e = \bar{C}_e \bar{x}_e \end{cases}$

2. 特征: $\bar{A} = T^{-1} A T = \begin{pmatrix} A_{cc} & 0 \\ 0 & A_{ee} \end{pmatrix}$. $\bar{B} = T^{-1} B = \begin{pmatrix} B_c \\ B_e \end{pmatrix}$. $\bar{C} = C T = \begin{pmatrix} C_c & 0 \end{pmatrix}$

能观子系统: $\begin{cases} \dot{\bar{x}}_o = \bar{A}_{oo} \bar{x}_o + \bar{B}_o u \\ y_o = \bar{C}_o \bar{x}_o \end{cases}$ 完全不能观: $\begin{cases} \dot{\bar{x}}_e = \bar{A}_{ee} \bar{x}_e + \bar{B}_e u \\ y_e = \bar{C}_e \bar{x}_e \end{cases}$

状态反馈控制

全系统: $\dot{x}(t) = (A - BK)x(t) + B r(t)$
反馈控制: $u(t) = -Kx(t) + r(t)$

$A - BK$ 相似变换矩阵. $\Delta u(s) = [sI - (A - BK)]^{-1} B$

$S_u = (A - BK, B, C)$. 不会改变能控性. 可能改变能观性.

$S_{cl} = (A - BK, B, C)$. 采用输出反馈控制. 不影响能控性.

状态反馈极点配置: 1. 给定 $K = (K_1, K_2, \dots)$. 让 $\Delta^*(s) = \Delta u(s)$.

2. 能控标准型设计法: 系统特征多项式 $\phi(s)$. 求 $\alpha_0, \alpha_1, \dots$

用 $T_c = Q_c Q_c^{-1}$ 求能控标准型. $\Delta^*(s)$ 求 $\alpha_0^*, \alpha_1^*, \dots$

$K_c = (\alpha_0^* - \alpha_0, \alpha_1^* - \alpha_1, \dots)$. $K = K_c T_c^{-1}$. $\dot{x} = (A - BK)x + br$

3. 状态反馈极点: (A, B) 镇定 $\Leftrightarrow (A, B)$ 的完全不能控子系统系统稳定.

i.e. 把不能控子系统的极点加到闭环极点中.

状态反馈的一般原理 (附录)

1. $H(s)$ 有 $n-1$ 个极点. \rightarrow $\begin{bmatrix} G \\ H \end{bmatrix}$

极点由 K 确定; 2. $G(s)H(s)$ 与 $G(s)$ 有相同的 n 个极点.

3. $G(s)H(s)$ 根轨迹有 $n-1$ 条分支. 一条根轨迹终止于实轴. 若 $H(s)$

所有极点在 s 平面左半平面, 可选较大 K 值保证系统稳定性.

4. 配置 $G(s)H(s)$ 零点位置来配置闭环极点. 状态反馈不改变系统极点.

5. $\frac{Y(s)}{U(s)}$ 极点数 - 零点数 = $G(s)$ 极点数 - 零点数.

要得到增益的不灵敏. 期望的闭环系统中必须有 β 个主导闭环极点

(位于 $H(s)$ 的 β 个零点的附近, 其余的 $(n-\beta)$ 个极点是主导的)

状态观测器

1. 动态方程: $\dot{\hat{x}}(t) = (A - HC)\hat{x}(t) + (B - HD)u(t) + Hy(t)$

误差: $\tilde{x}(t) = x(t) - \hat{x}(t)$. $\dot{\tilde{x}}(t) = (A - HC)\tilde{x}(t)$

① 令 $h = \begin{pmatrix} h_1 \\ h_2 \end{pmatrix}$. $\Delta_c(s) = [sI - (A - hc)]^{-1} B$. $\Delta_o(s) = C \Delta_c(s)$

② 采用能观标准型: 系统特征多项式 $\phi(s)$. 求 $\alpha_0, \alpha_1, \dots$

用 $T_o^{-1} = Q_o^{-1} Q_o$ 求能观标准型. $\Delta^*(s)$ 求 $\alpha_0^*, \alpha_1^*, \dots$

$H_o = \begin{pmatrix} \alpha_0^* - \alpha_0 \\ \alpha_1^* - \alpha_1 \end{pmatrix}$. $h = T_o H_o$. $\dot{\hat{x}}(t) = (A - hc)\hat{x}(t) + (b - hd)u(t) + hy(t)$

2. 分离定理: 当且仅当 (A, B, C, D) 能控能观时, 状态反馈系统而状

态观测器的设计可以独立进行. 即系统极点可以由 K 和 H 分别配置到任意位置

方法: 单独计算 K 和 H . $\begin{cases} \dot{\hat{x}}(t) = \begin{pmatrix} A & -BK \\ HC & A - BK - HC \end{pmatrix} \begin{pmatrix} \hat{x}(t) \\ x(t) \end{pmatrix} + \begin{pmatrix} B \\ B \end{pmatrix} r(t) \\ y(t) = (C - DK) \begin{pmatrix} \hat{x}(t) \\ x(t) \end{pmatrix} + Dr(t) \end{cases}$

降维状态观测器: 线性系统构造 (2) 非奇异. $T = \begin{pmatrix} Q \\ C \end{pmatrix}^{-1}$

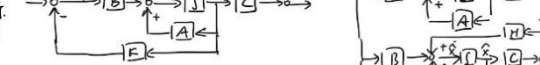
对系统作状态变换 $x(t) = T \begin{pmatrix} \tilde{x}(t) \\ z(t) \end{pmatrix}$:
变换后的系统为 $\begin{pmatrix} \dot{\tilde{x}}(t) \\ \dot{z}(t) \end{pmatrix} = \begin{pmatrix} A_{11} & A_{12} \\ A_{21} & A_{22} \end{pmatrix} \begin{pmatrix} \tilde{x}(t) \\ z(t) \end{pmatrix} + \begin{pmatrix} B_1 \\ B_2 \end{pmatrix} u(t)$

$\Delta_{c1} = [sI - (A_{11} - hA_{21})]^{-1} \Delta^* \Rightarrow$ 计算 h .

$\hat{\omega}(t) = (A_{11} - hA_{21})\hat{\omega}(t) + (A_{12} - hA_{22} + A_{11}H - hA_{21}H)y(t) +$
 $(B_1 - A_{12}D - hB_2 - hA_{22}D - A_{11}HD + hA_{21}HD)u(t)$

$\hat{x}(t) = T \begin{pmatrix} \hat{\omega}(t) \\ z(t) \end{pmatrix} = T \begin{pmatrix} \hat{\omega}(t) \\ y(t) - C\hat{\omega}(t) \end{pmatrix}$

最小维数 $n - \text{rank}(C)$.



状态及反馈控制: $\begin{cases} \dot{\tilde{x}}(t) = \tilde{A}\tilde{x}(t) + \tilde{B}u(t) \\ y(t) = \tilde{C}\tilde{x}(t) + D u(t) \end{cases}$

状态观测器: $\begin{cases} \dot{\hat{\omega}}(t) = \hat{A}\hat{\omega}(t) + \hat{B}u(t) \\ \hat{y}(t) = \hat{C}\hat{\omega}(t) \end{cases}$

描述函数

饱和特性: $N(A) = \frac{2k}{\pi} [\arcsin \frac{A}{A_0} + \frac{A}{A_0} \sqrt{1 - (\frac{A}{A_0})^2}]$ ($A \geq A_0$)

死区特性: $N(A) = \frac{2k}{\pi} [\frac{\pi}{2} - \arcsin \frac{A}{A_0} - \frac{A}{A_0} \sqrt{1 - (\frac{A}{A_0})^2}]$ ($A \geq A_0$)

理想继电器: $N(A) = \frac{4M}{\pi A}$. $A \rightarrow \infty, N(A) \rightarrow 0$

死区继电器: $N(A) = \frac{4M}{\pi A} \sqrt{1 - (\frac{A}{A_0})^2}$ ($A \geq A_0$)

滞环继电器: $N(A) = \frac{4M}{\pi A} \sqrt{1 - (\frac{A}{A_0})^2} - j \frac{4Mh}{\pi A^2}$ ($A \geq A_0$)

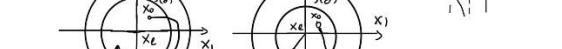
死区滞环继电器: $N(A) = \frac{2M}{\pi A} [\sqrt{1 - \frac{mh}{A}} + \sqrt{1 - (\frac{A}{A_0})^2}] + j \frac{2Mh}{\pi A^2} (m-1)$

同相特性: $N(A) = \frac{k}{\sqrt{1 - (\frac{A}{A_0})^2}} + j \frac{Akh}{\pi A^2} (\frac{A}{A_0} - 1)$ ($A \geq A_0$)

Lyapunov 稳定性分析

自治系统 $\dot{x}(t) = f(x(t))$. $f(x_e) = 0$. x_e 平衡状态.

1. Lyapunov 稳定性定义: 对 \forall 小的 $\epsilon > 0$, $\exists \delta > 0$...



在 x_e 稳定. 在 x_e 附近稳定.

对任意初始状态, 若 $\forall \epsilon > 0, \exists \delta > 0$, 令 δ 为 $\delta(\epsilon)$. 一致稳定: 不管 δ 与 ϵ , 轨迹都在同一个 $\delta(\epsilon)$ 内.

Lyapunov 间接判据: 线性: $\dot{x} = Ax$ 渐近稳定: A 特征值全位于左半平面.

非线性: 令 $\tilde{x} = x - x_e$, 近 $\tilde{x} = A\tilde{x}$. $A = \frac{\partial f}{\partial x} \big|_{x_e}$

描述函数判断稳定性: $G(j\omega)$ 曲线不能包含 $-\frac{1}{N(A)}$ 曲线.

自激振荡: $G(j\omega)$ 曲线与 $-\frac{1}{N(A)}$ 曲线交点. i.e. $G(j\omega)N(A) = -1$ $|1| = 1, \angle = -\pi$.

稳定性: $G(j\omega)$ 不稳定. $-\frac{1}{N(A)}$ 前向不稳定: 不稳定极限环; 前向稳定: 稳定...

Lyapunov 直接判据: 1. 正定性: $V(x) > 0$. 其他 x 处 $V(x) > 0$. 2. 负定性: $-V(x)$ 正定.

3. 正半定: $V(x) > 0$. 其他 x 处 $V(x) > 0$. 4. 负半定: $-V(x)$ 正半定. 5. 不定性.

二次型: 记 $V(x) = x^T P x$. 其中 P 对称正定. Sylvester 判据: P 正定: $p_{11} > 0, |p_{11} p_{22} - p_{12}^2| > 0, \dots$

② 负定: P 对称正定序主子行列式负相间.

判断稳定性: 1. 若 $V(x)$ 正定, $\dot{V}(x)$ 负定, 则系统在原点渐近稳定.

2. 若 $V(x)$ 正定, $\dot{V}(x) = 0$ 时, $V(x) \rightarrow \infty$, 则在原点全局渐近稳定.

3. $V(x)$ 正定, $\dot{V}(x)$ 负半定, $\lim_{t \rightarrow \infty} V(x) = 0$. 此外对于任意非零初始状态 x_0 .

其 $\frac{dV(x(t; x_0))}{dt}$ 不等于零. 则在原点全局渐近稳定.

4. $V(x)$ 正定, $\dot{V}(x)$ 负半定, 系统在原点 Lyapunov 意义下稳定.

5. $V(x)$ 正定, $\dot{V}(x)$ 正定, 系统在原点不稳定.

对 $x_e = -a \neq 0$ 令 $\tilde{x} = x + a$. 代入 $\dot{x} = f(x)$

线性连续系统 Lyapunov 稳定性分析

1. 线性系统 (A, B, C, D) 由稳定 $\Leftrightarrow \dot{x}(t) = Ax(t)$ 原处处全局渐近稳定

2. A 是否对称矩阵. \exists 对称矩阵 P 满足 $AP + PA = -Q$. 则 $V(x) = x^T P x$ 是一个 Lyapunov 函数 (i.e. 线性连续系统渐近稳定).

① 取 $Q = I$. ② 计算 P (p_{11}, p_{12}, \dots 待定系数). ③ 求 P 判断是否正定

正定 \Leftrightarrow 主子行列式 > 0 .

3. 若 $\dot{V}(x) = -x^T Q x$ 沿一条轨迹不恒等于 0. 也可取正半定阵.

4. 离散: $x(k+1) = Gx(k)$: $G^T P G - P + Q = 0$.

阻尼振荡频率

$\omega_d = \omega_n \sqrt{1 - \zeta^2}$

$\zeta = \frac{c}{2\sqrt{m}}$

$\text{Tr} = \frac{\pi - \phi}{\omega_n \sqrt{1 - \zeta^2}}$

$T_s = \begin{cases} \frac{3}{\omega_n} & 5\% \\ \frac{4}{\zeta \omega_n} & 2\% \end{cases}$

$n = e^{\frac{2.3}{1 - \zeta}}$

等比: $z = e^{-\omega_d t} e^{j\omega_d t} \omega_d$ 螺旋线

1) 开环幅相曲线的起点, 取决于比例环节 K 和系统积分或微分环节的个数 m (系统的型别), 因为其他环节当 $\omega=0$ 时为 1.

$m < 0$, 起点为原点;

$m = 0$, 起点为实轴上的点 K 处 (K 为系统开环增益, K 有正负之分);

$m > 0$, $K > 0$ 时, 起点为 $m \times (-90^\circ)$ 的无穷远处, $K < 0$ 时, 起点为 $m \times (-90^\circ) - 180^\circ$ 的无穷远处.

令虚部为零, 可求出频率特性与实轴的交点; 令实部为零, 可求出频率特性与虚轴的交点.

2) 开环幅相曲线的终点, 取决于开环传递函数分子、分母多项式中最小相位环节和非最小相位环节的阶次和.

设系统开环传递函数分子、分母多项式的阶次分别为 m 和 n , 记除 K 外, 分子多项式中最小相位环节的阶次和为 w_1 , 非最小相位环节的阶次和为 w_2 , 分母多项式中最小相位环节的阶次和为 n_1 , 非最小相位环节的阶次和为 n_2 , 则有

$w = w_1 + w_2$, $n = n_1 + n_2$

$\phi(\infty) = \begin{cases} [(w_1 - w_2) - (n_1 - n_2)] \times 90^\circ & K > 0 \\ [(w_1 - w_2) - (n_1 - n_2)] \times 90^\circ - 180^\circ & K < 0 \end{cases}$

特别地, 当开环系统为最小相位系统时,

若 $n = w$, $G(j\omega)H(j\omega) = K^*$

$n > w$, $G(j\omega)H(j\omega) = 0 \angle (n - w) \times (-90^\circ)$

其中 K^* 为系统开环根轨迹增益

3) 若开环系统存在特殊振荡环节, 重数 l 为正整数, 即开环传递函数具有下述形式

$G(s)H(s) = \frac{1}{(s^2 + 1)^l} G_1(s)H_1(s)$

$G_1(s)H_1(s)$ 不含 $\pm j\omega_n$ 的极点, 当 ω 趋于 ω_n 时, $|G(j\omega)H(j\omega)|$ 趋于无穷, 而

$\phi(\omega_n) \approx \phi(\omega_n) = \angle G(j\omega_n)H_1(j\omega_n)$

$\phi(\omega_n) \approx \phi(\omega_n) - l \times 180^\circ$

即 $\Phi(\omega)$ 在 $\omega = \omega_n$ 的附近, 相角突变 $-l \times 180^\circ$.